

## ФОТОЧУВСТВИТЕЛЬНОСТЬ ПОВЕРХНОСТНО-БАРЬЕРНЫХ СТРУКТУР НА ОСНОВЕ InP С МИКРОРЕЛЬЕФНОЙ ГРАНИЦЕЙ РАЗДЕЛА

Е. В. Басюк, Н. Л. Дмитрук, О. И. Маева

Институт полупроводников Академии наук Украины, 252650, Киев, Украина  
(Получена 28.05.1992. Принята к печати 6.08.1992)

Исследована фоточувствительность поверхностно-барьерных структур (ПБС) на основе InP с промежуточным тонким слоем собственного окисла ( $d \approx 50 \pm 60 \text{ \AA}$ ). Повышение рентабельности использования падающего излучения осуществлялось путем применения текстурированной (микрорельефной) границы раздела ПБС, а оптимизация рекомбинационных и транспортных свойств (увеличение эффективной высоты барьера, уменьшение обратных темновых токов и плотности поверхностных электронных состояний (ПЭС)) достигалось пассивацией границы раздела путем введения между металлом и полупроводником тонких промежуточных слоев собственных гидротермальных окислов и сульфидирования в водном  $2N$ -растворе  $\text{Na}_2\text{S} \cdot 9\text{H}_2\text{O}$ .

Достигнуто увеличение фоточувствительности ПБС в 3÷5 раз в актуальной области длин волн ( $\lambda = 0.3 \div 1.0 \text{ мкм}$ ) и резкое возрастание фототока в коротковолновой области спектра ( $\lambda < 0.5 \text{ мкм}$ ). Последнее обстоятельство связано с уменьшением рекомбинационных потерь в области пространственного заряда и на границе раздела из-за улучшения ее структуры и электронных свойств в результате анизотропного травления и пассивации ПЭС.

**Введение.** Повышение фоточувствительности поверхностно-барьерных структур (ПБС), изготовленных на основе полупроводников  $\text{A}^{\text{III}}\text{B}^{\text{V}}$  и, в частности, InP, является актуальным в опто- и фотоэлектронике. Для достижения поставленной задачи нами использовались два пути: 1) повышение рентабельности использования падающего излучения из-за уменьшения потерь, связанных с отражением, путем применения полупроводника с текстуризованными (микрорельефными) поверхностями [<sup>1, 2</sup>]; 2) оптимизация рекомбинационных и транспортных свойств барьеров Шоттки за счет увеличения эффективной высоты барьера, уменьшения обратных темновых токов, плотности поверхностных электронных состояний (ПЭС) на границе раздела и скорости поверхностной рекомбинации.

Проблема увеличения эффективной высоты барьера и уменьшения обратных темновых токов ПБС на основе InP решалась введением между металлом и полупроводником тонких промежуточных слоев собственных окислов (СО) толщиной  $d \approx 50 \div 60 \text{ \AA}$ . Известны способы химического [<sup>3, 4</sup>], фотохимического [<sup>5, 6</sup>] окисления полупроводника, которые позволяют получить окисный слой однородного состава, а диоды Шоттки, полученные последующим напылением металла, обладают большей эффективной высотой барьера и меньшими токами утечки по сравнению с диодами без промежуточного слоя.

Улучшение электронных свойств границы раздела (снижение плотности ПЭС и скорости поверхностной рекомбинации) достигалось пассивированием поверхности InP в водном растворе сульфидов по методике, близкой к [<sup>7-9</sup>] для GaAs и [<sup>10-12</sup>] для InP.

### 1. Методика эксперимента и образцы

Изготовление барьеров Шоттки Au—InP базировалось на технологии, обеспечивающей воспроизводимость, временную и термическую стабильность пара-

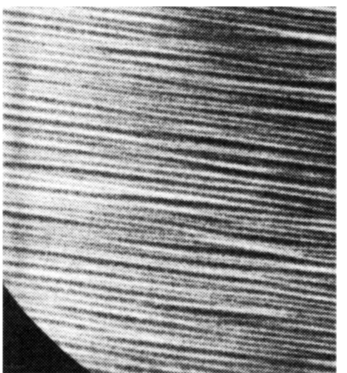


Рис. 1. Поверхность InP (100) после анизотропного травления в концентрированной HCl. Время травления 4 мин.

стей осуществлялось по методике [13]. Пассивация InP с помощью сульфидирования производилась путем погружения структур в 2 N-водный раствор  $\text{Na}_2\text{S} \cdot 9\text{H}_2\text{O}$  на 10—20 с при комнатной температуре. После сульфидирования структуры промывались в дезионизированной воде и высушивались [9]. Поверхностно-барьерные структуры создавались вакуумным напылением Au на подогретую до  $\approx +110^\circ\text{C}$  подложку через маску с диаметром отверстий 1.2 мм. Омические контакты получали вплавлением In на тыльную сторону структур. Параметры барьеров Шоттки контролировались по вольт-амперным (ВАХ) и вольт-фарадовым (ВФХ) характеристикам. Освещение ПБС проводилось лампой ДКСШ-1000 через монохроматор ДМР-4. Спектральные характеристики фототока короткого замыкания измерялись в диапазоне длин волн  $0.3 \div 1.0$  мкм, когда коэффициент поглощения света в InP изменялся от  $7 \cdot 10^5$  до  $1 \cdot 10^2 \text{ см}^{-1}$  [14].

## 2. Экспериментальные результаты и обсуждение

На рис. 2 представлены измеренные зависимости коэффициента отражения для химически полированной (кривая 1) и микрорельефной границы раздела (кривая 2, см. рис. 1), а также рассчитанный нами коэффициент отражения для плоской системы «пленка Au—CO—n-InP» (кривая 3) и пропускание  $T_1$  (кривая 4) плоской пленки Au на n-InP из работы [15]. Экспресс-контроль качества микрорельефа осуществлялся по спектру отражения света в широком диапазоне длин волн  $\lambda = 2 \div 20$  мкм [2]. Наличие рельефа приводит к монотонному уменьшению коэффициента зеркального отражения в области спектра, где длина волны падающего излучения сравнима или меньше среднего размера микрорельефа. Приготовленная по описанной выше методике микрорельефная поверхность уменьшает коэффициент отражения до  $\approx 3\%$ . Снижение же коэффициента отражения для химически полированной поверхности по сравнению с коэффициентом отражения механически полированной можно объяснить влиянием пленки CO толщиной  $d \approx 50 \div 60$  Å на фронтальной стороне структуры, играющей роль просветляющего покрытия.

На рис. 3 представлены спектральные характеристики фототока короткого замыкания ПБС, приведенные к постоянному количеству квантов света, падающих на барьер Au—CO—n-InP, для разных стадий развития рельефа. Отличительным свойством спектров фототока микрорельефных ПБС по сравнению

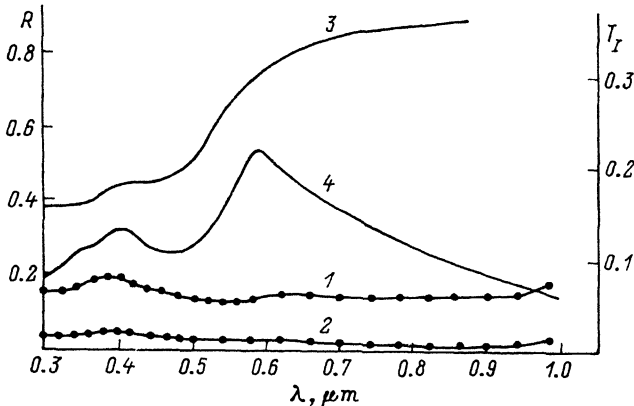


Рис. 2. Спектральная зависимость коэффициента отражения для химически полированной (1) и микрорельефной (2) (см. рис. 1) границы раздела  $n$ -InP—CO, рассчитанная зависимость  $R(\lambda)$  для плоской системы «пленка Au—Co— $n$ -InP» (3) и пропускание  $T_I$  для плоской границы «пленка Au— $n$ -InP» (4), взятое из [15].

с плоскими является: 1) увеличение фоточувствительности в  $3 \div 5$  раз; 2) резкое возрастание фототока в коротковолновой области спектра ( $\lambda < 0.5$  мкм) для определенной стадии развития микрорельефа. Увеличение  $i_{ph}$  ПБС по мере развития рельефа во всей области длин волн можно прежде всего объяснить влиянием профилирования поверхности за счет эффекта многократного отражения от фронтальных поверхностей Au и InP.

Длинноволновый край спектра фототока  $i_{ph}$  определяется зависимостью  $T_I(\lambda)$ , уровнем легирования полупроводника, диффузионной длиной  $L_p$  и скоростью поверхностной рекомбинации на обеих поверхностях. Нами был выбран оптимальный уровень легирования монокристаллического  $n$ -InP ( $4 \cdot 10^{16} \text{ см}^{-3}$ ) во избежание потерь за счет уменьшения эффективности сортирования фотогенерируемых носителей в красной области спектра ( $N_d > 10^{16} \text{ см}^{-3}$ ) или увеличения последовательного сопротивления ПБС ( $N_d < 10^{16} \text{ см}^{-3}$ ). На самом краю спектральной зависимости (0.9  $\div$  1.0 мкм) могут проявляться эффекты многократного полного внутреннего

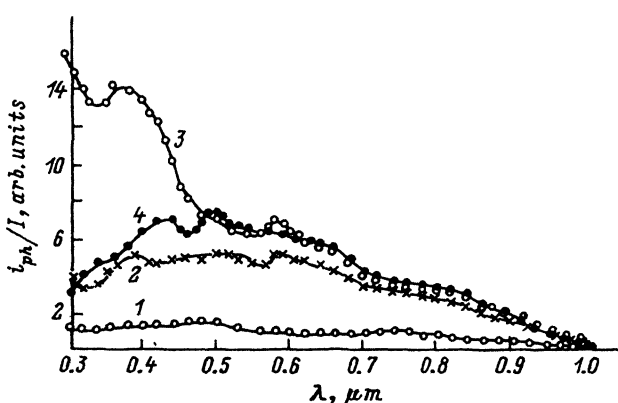


Рис. 3. Спектральные характеристики фототока  $i_{ph}$  ПБС Au—CO— $n$ -InP (100) ( $N_d = 4 \cdot 10^{16} \text{ см}^{-3}$ ) с химически полированной (1) и микрорельефной границей раздела; время постадийного микропрофилирования, мин: 2 — 3, 3 — 4 (см. фото), 4 — 5.

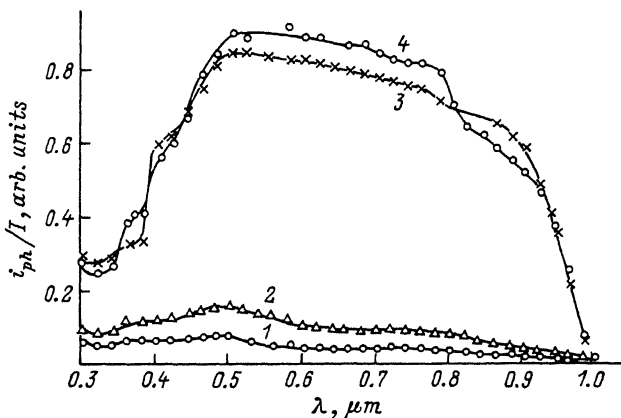


Рис. 4. Спектральные характеристики фототока  $i_{ph}$  ПБС с химически полированной поверхностью, окисленной гидротермальным способом (1, 2) и поверхностью, подвергнутой после окисления сульфидированию (3, 4).

отражения от тыльной и боковой поверхностей («захват» света полупроводником), увеличивающие долю поглощенного в полупроводнике света. Наличие диэлектрической пленки и рельефа и на тыльной поверхности усиливает эти эффекты [16]. Все это в сочетании с уменьшением плотности ПЭС увеличивает фоточувствительность в ИК области. Наиболее эффективной в этом смысле является пассивация сульфидированием (рис. 4, 5).

Известно, что коротковолновый спад спектральной чувствительности ПБС в значительной степени связан с рекомбинационными потерями, обусловленными рекомбинацией в ОПЗ, на границе раздела, и особенно переносом горячих основных носителей тока в металл [17–18]. В коротковолновой области, где коэффициент поглощения достигает значения  $K = 7 \cdot 10^5 \text{ см}^{-1}$ , поведение  $i_{ph}$  различно для разных стадий развития микрорельефа (рис. 3, кривая 3) и разных способов пассивации (рис. 4, 5).

Резкое увеличение фоточувствительности, наблюдаемое в коротковолновой области спектра ( $\lambda < 0.5 \text{ мкм}$ ), для промежуточной стадии профилирования (рис. 3, кривая 3) связано, по-видимому, с улучшением структуры из-за удаления в процессе анизотропного травления дефектных областей полупроводника, что

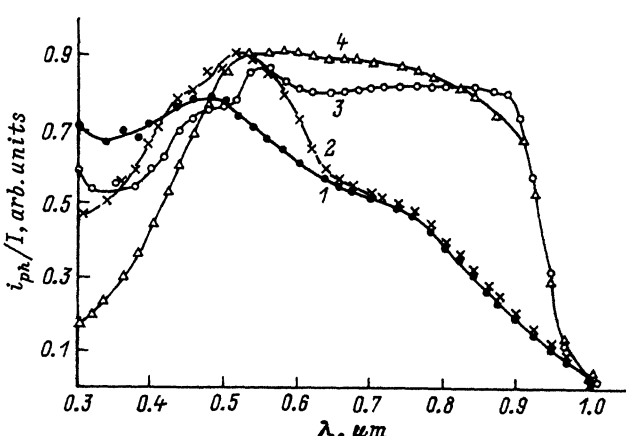


Рис. 5. То же, что и на рис. 4 для микрорельефной границы раздела.

## Параметры ПБС Au—CO—n-InP

Вид обработки	$\varphi_B^{\text{ФХ}}$ , В	$\varphi_B^{\text{ВАХ}}$ , В	$n$	$N_{ss}, 10^{12} \text{ см}^{-2} \cdot \text{В}^{-1}$
Плоская граница раздела, химическая полировка, гидротермальное окисление	$0.68 \pm 0.06$	$0.63 \pm 0.04$	1.9	$5.0 \pm 0.6$
То же и сульфидирование	$0.66 \pm 0.06$	$0.58 \pm 0.04$	1.5	$2.9 \pm 0.6$
Микропрофилированная граница раздела, гидротермальное окисление	$0.62 \pm 0.06$	$0.61 \pm 0.04$	2.2	$6.8 \pm 0.8$
То же и сульфидирование	$0.60 \pm 0.06$	$0.53 \pm 0.04$	2.3	$6.6 \pm 0.8$

способствует снижению рекомбинационных потерь [19, 20]. Электронные свойства ПБС с границей раздела, подвергнутой гидротермальному окислению и сульфидированию, представлены в таблице.

Основываясь на данных по электронным свойствам исследуемых ПБС, можно утверждать, что вид спектральных зависимостей  $i_{ph}$  существенно зависит от толщины диэлектрического слоя, высоты потенциального барьера для основных и неосновных носителей заряда и концентрации ПЭС и ловушек в окисле, участвующих в переносе фототока. Увеличение толщины зазора приводит к уменьшению коэффициента прозрачности для носителей тока и, следовательно, к увеличению эффективной высоты барьера для основных носителей, уменьшая тем самым потери в ОПЗ. Кроме того, для увеличения фототока благоприятным является уменьшение толщины слоя диэлектрика до оптимальной величины  $\approx 50-60 \text{ \AA}$ . Особенно заметна эта тенденция в спектрах фоточувствительности для сульфидированной плоской (рис. 4) и микрорельефной границы раздела (рис. 5) в коротковолновой области ( $\lambda < 0.5 \text{ мкм}$ ).

В процессе сульфидирования поверхности InP в растворе  $\text{Na}_2\text{S} \cdot 9\text{H}_2\text{O}$ , имеющем слабощелочную реакцию, происходит выщелачивание фосфат-анионов из поверхностного слоя InP, состоящего (для используемых нами предварительных обработок) из оксидной фазы, имеющей в своем составе преимущественно  $\text{InPO}_4$  [21]. Освободившиеся валентности In внутри приповерхностного слоя связываются, благодаря действию сульфид-ионов, серными мостиками  $\Rightarrow \text{In} - \text{S} - \text{In} \leqslant$ , а свободные валентности крайних поверхностных атомов In блокируются атомами серы по схеме:  $\Rightarrow \text{In} - \text{S} - \text{H}$  или  $- \text{In} - \text{S}$ , что приводит к уплотнению рыхлого поверхностного слоя. Можно предположить реакцию  $2\text{InPO}_4 + 3\text{Na}_2\text{S} \rightarrow \text{In}_2\text{S}_3 + 2\text{Na}_3\text{PO}_4$  как конечный результат действия сульфидирования. Замена оксидной фазы  $\text{InPO}_4$  на  $\text{In}_2\text{S}_3$  в поверхностном слое, по-видимому, приводит к насыщению свободных валентностей атомов In и образованию более совершенной границы раздела. Заметим, что важность ковалентно связанной серы (сильная связь) в механизме пассивации была подтверждена оже-анализом для GaAs-подложки, пассивированной в растворе  $\text{Na}_2\text{S} \cdot 9\text{H}_2\text{O}$  [8]. Это эффективный путь уменьшить количество активных центров на поверхности и тем самым снизить скорость поверхностной рекомбинации. Оба фактора — уменьшение толщины промежуточного оксидного слоя и насыщение поверхностных связей отчетливо проявляются в спектральной зависимости  $i_{ph}$  для плоской границы раздела соответственно в коротковолновой ее части и в средней длинноволновой (см. рис. 4 и таблицу). Для того чтобы достигнуть стабильного эффекта поверхностной пассивации, необходимо, чтобы образовался химически стойкий поверхностный слой, устойчивый к реокислению на воздухе или в воде. Рис. 5 иллюстрирует стабильность эффекта сульфидирования, несмотря на реокисление при промывке в деонизованной воде (увеличение  $n$  и  $N_{ss}$ , см. таблицу).

Эффект многократного полного внутреннего отражения света от боковых, фронтальной и тыльной поверхностей в области 0.9—1.0 мкм наиболее отчетливо проявляется на сульфидированных ПБС (рис. 4, 5), обладающих меньшей плотностью граничных ПЭС и меньшей скоростью поверхности рекомбинации.

**Выходы.** 1. Использование микрорельефной границы раздела с туннельно-тонким промежуточным оксидным слоем позволяет увеличить в 3÷5 раз чувствительность ПБС на основе *n*-InP и Au и расширить ее в УФ области.

2. Увеличение спектральной чувствительности во всей области спектра вследствие микропрофилирования и сульфидирования происходит за счет уменьшения отражения и увеличения поглощенного света в полупроводнике в результате суммарного действия эффектов многократного отражения от фронтальной поверхности и многократного полного внутреннего отражения от тыльной и боковой поверхностей, а также пассивации поверхностных электронных состояний.

3. Увеличение эффективности преобразования коротковолнового света в фототок связано с уменьшением рекомбинационных потерь на границе раздела из-за улучшения ее структуры и электронных свойств вследствие анизотропного травления. Особенности спектра фототока микрорельефной сульфидированной границы раздела Au—*n*-InP обусловлены снижением скорости поверхности рекомбинации и утонением промежуточного слоя.

В заключение авторы выражают благодарность Е. В. Пидлисному за экспресс-контроль качества микрорельефа по ИК спектрам отражения.

#### СПИСОК ЛИТЕРАТУРЫ

- [1] E. Yablonovich. J. Opt. Soc. Amer., 72, 899 (1982).
- [2] E. B. Басюк, Т. Я. Горбач, Н. В. Котова, Е. В. Пидлисный, С. В. Свечников. Электрон. техн., сер. 6, вып. 3, 56 (1988).
- [3] O. Wada, A. Majerfeld, P. N. Robson. Sol. St. Electron., 25, 381 (1982).
- [4] Z. Q. Shi, W. A. Anderson. Sol. St. Electron., 31, 285 (1991).
- [5] H. Hasagawa, H. Ishii, T. Sawada, T. Saitoh, S. Konishi, Y. Liu, H. Ohno. J. Vac. Sci. Techn., 6, 1184 (1988).
- [6] C. W. Wilmsen, P. D. Kirchner, J. M. Baker, D. T. McInturf, G. D. Pettit, J. M. Woodall. J. Vac. Sci. Techn., 6, 1180 (1988).
- [7] L. Koenders, M. Blomacher, W. Monch. J. Vac. Sci. Techn., 6, 1416 (1988).
- [8] C. J. Sandroff, R. N. Notenberg, J.-C. Bischoff, R. Bhat. Appl. Phys. Lett., 51, 33 (1987).
- [9] В. А. Берковиц, Л. Ф. Иванцов, И. В. Макаренко, Т. В. Львова, Р. В. Хасиева, В. И. Сафаров. ФТП, 25, 379 (1991).
- [10] R. Iyer, R. R. Chang, A. Dubey, D. L. Lile. J. Vac. Sci. Techn., B6, 1174 (1988).
- [11] T. Iyer, R. R. Chang, D. L. Lile. Appl. Phys. Lett., 53, 134 (1988).
- [12] M. Yamada, A. K. Wahi, T. Kendelewicz, W. E. Spicer. Appl. Phys. Lett., 58, 2701 (1991).
- [13] Y. S. Lee, W. A. Anderson. J. Appl. Phys., 65, 4051 (1989).
- [14] D. E. Aspnes, A. A. Studna. Phys. Rev. B, 27, 985 (1983).
- [15] Ю. А. Доброжанский, В. А. Преснов, Д. Д. Коноваленко. Гелиотехника, 5, 19 (1975).
- [16] M. G. Maik, A. M. Barnett. XIX IEEE Photovolt. Spec. Conf. New Orleans, La, May 4—8, 1987; Conf. Rec., 392. N. Y. (1987).
- [17] А. А. Гуткин, В. Е. Седов. ФТП, 9, 1761 (1975).
- [18] Н. Л. Дмитрук, О. Ю. Борковская, А. Н. Зюганов. ОПТ, вып. 4, 82 (1979).
- [19] Н. Л. Дмитрук, О. Ю. Борковская, О. Н. Мишук. Письма ЖТФ, 17, 18 (1991).
- [20] Т. Я. Горбач, Л. А. Матвеева, П. В. Свиридов, В. Г. Чалая. Электрон. техн., сер. 6. Материалы, вып. 4, 53 (1991).
- [21] G. Hollinger, E. Bergignat, J. Joseph, Y. Robach. J. Vac. Sci. Techn., A3, 2082 (1985).

Редактор В. В. Чалдышев